

СИНТЕЗ И СВОЙСТВА СИЛИКОНОВЫХ КОМПОЗИТОВ СОДЕРЖАЩИХ НИКОТИН

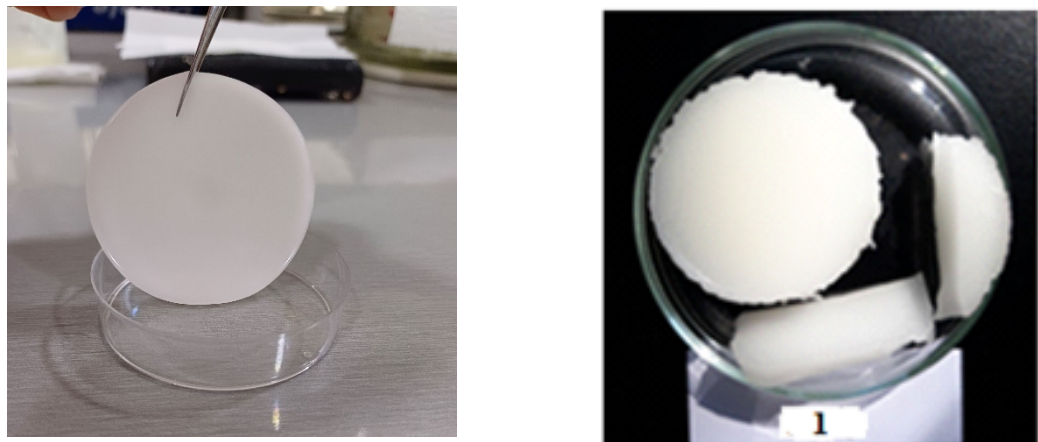


Рис. S1. Внешний вид образцов в виде пленок и таблеток

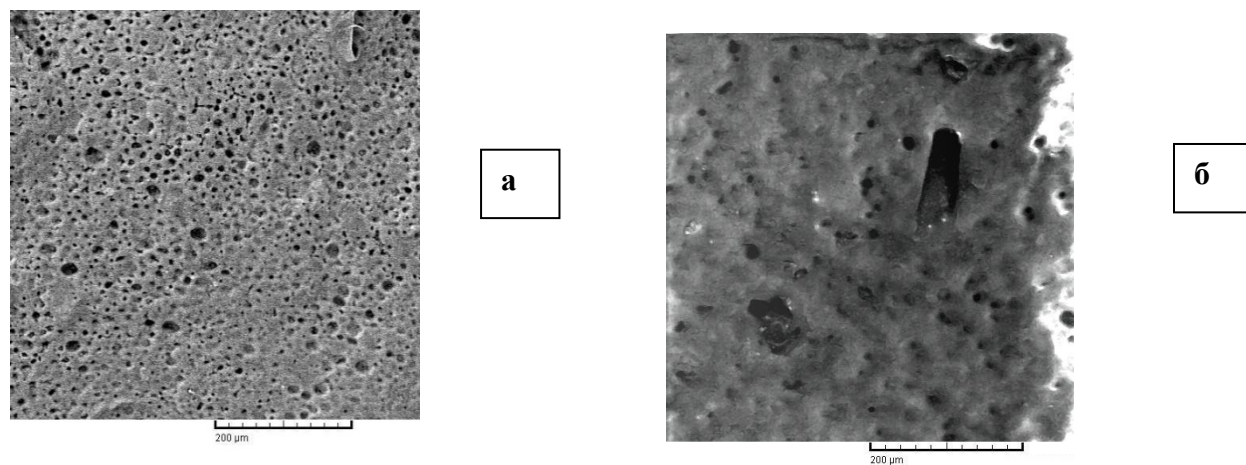


Рис. S2. СЭМ снимки образцов А4 (а) (41.0 масс% глицерина) и А4 (б) 1 (48.0 масс% глицерина)

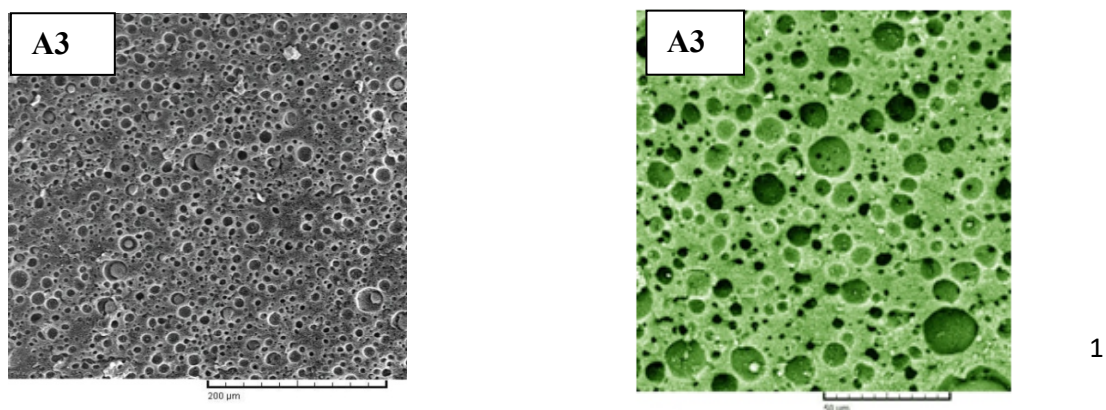


Рис. S3. СЭМ снимки силиконового композита А3 (32.0% глицерина, катализатор ДБДЛО)

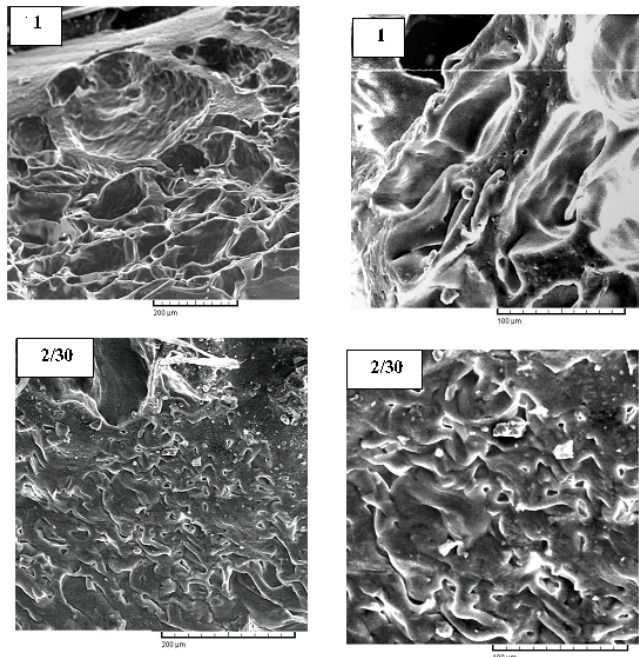


Рис. S4. СЭМ снимки полых образцов А4 (41.0 масс% глицерина в исходном образце) и А5/30 (41.0 масс% сумма ГЛ и ПГЛ в исходном образце, при их масс. соотношении 30/70)

Таблица S1. Физико-механические свойства полученных композитов

Образец А1	Образец А2/30	Образец А3
$l_0 = 17\text{мм}$	$l_0 = 13\text{мм}$	$l_0 = 7.5\text{мм}$
$b = 9\text{ мм}$	$b = 10.5\text{ мм}$	$b = 10\text{ мм}$
$h = 1.9\text{мм}$	$h = 3\text{мм}$	$h = 2\text{мм}$
$l_1 = 31\text{мм}$	$l_1 = 20\text{мм}$	$l_1 = 20\text{мм}$
$F = 0.3\text{ кг} \cdot \text{с}$	$F = 0.2\text{ кг} \cdot \text{с}$	$F = 0.7\text{ кг} \cdot \text{с}$
$E = 1540.6\text{ Па}$	$E = 1961.33\text{ Па}$	$E = 36284.60\text{ Па}$
$F = 64\text{ кгс}$ $b < 1\text{ мм}$, нет разрыва	$F = 53\text{ кгс}$ $b < 1\text{мм}$, разрушился	$F = 53\text{ кгс}$ $b < 1\text{мм}$, разрушился

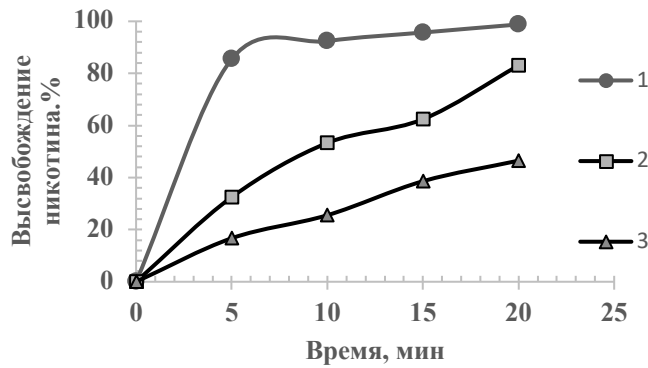


Рис. S5. Кинетика высвобождения никотина при 200°C в аэрозольной смеси с глицерином из образцов А3 (1- образец с дитартратом никотина, 2-образец с d-винной кислотой и никотином, 3-образец с никотином).

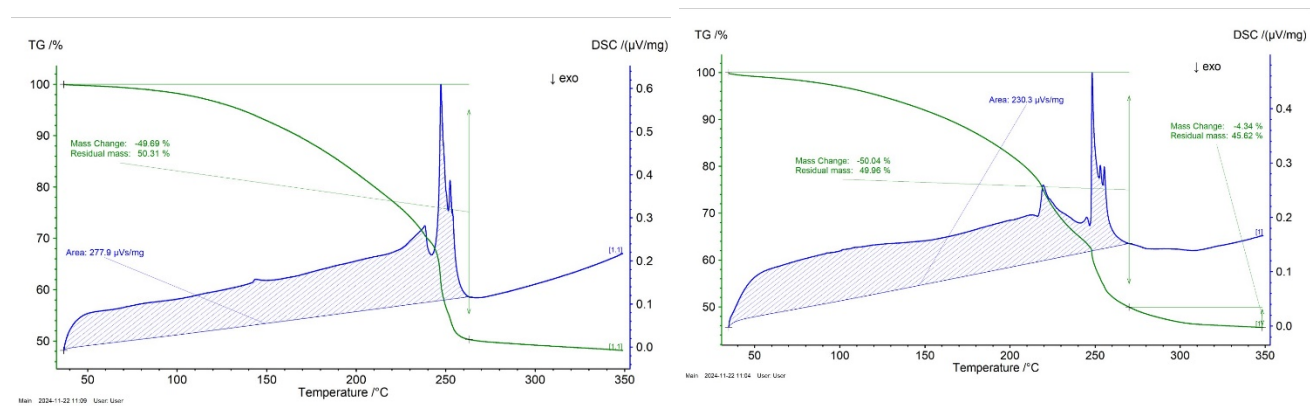
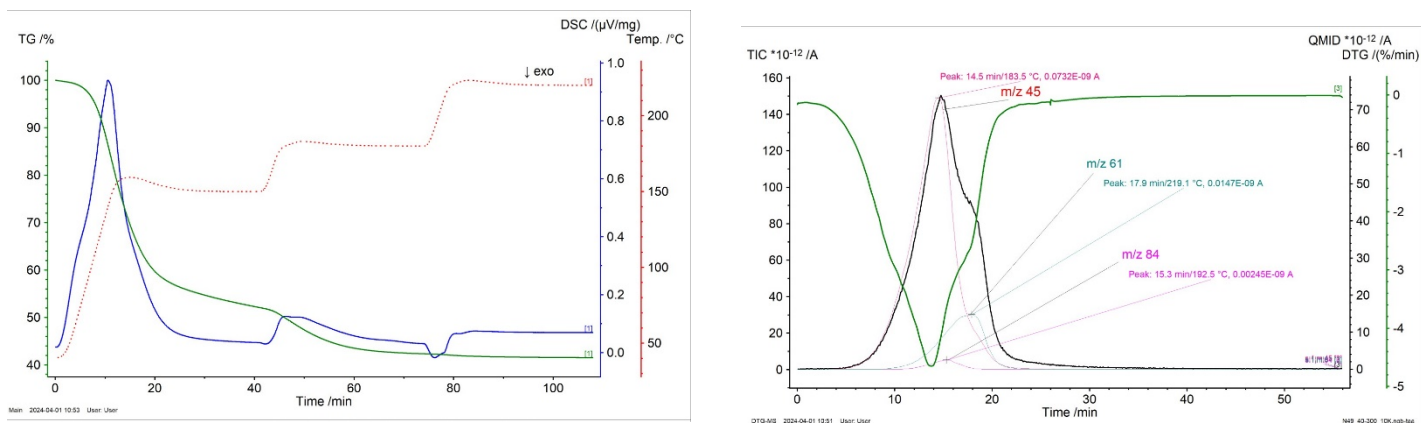
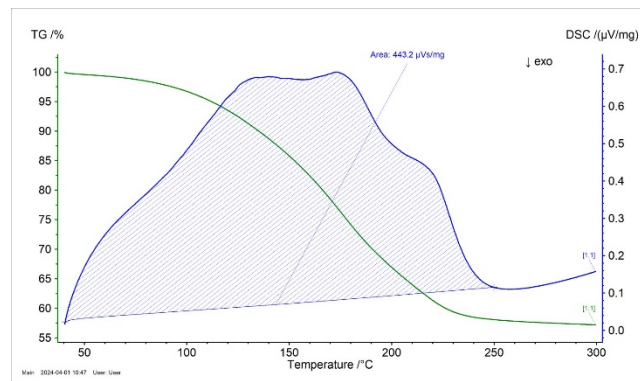


Рис. S6. Данные ТГ-МС анализа образцов **Б 2** и **Б 3**, эндотермическая энергия разложения образцов **Б 2**-277.9 мкВс/мг и **Б 3**-230.3 мкВс/мг



а

б



B

Рис. S7. Данные ТГ-МС анализа образца 1.6